

2

비정질 Se-Ge박막의 FIB용 Resist 매기 변수 추정

이현우, 박태성, 모연한, 이성준, 정홍배
광운대학교 전자재료공학과

I. 서 론

FIB를 이용한 Sub-micrometer 반도체 응용기술에 대한 관심이 높아지고, 256M 및 1G DRAM급 소자 개발의 유일한 수단으로서의 FIB를 이용한 리로그라피 기술의 중요성은 매우 크다.

이에 우리는 다년간 연구한 비정질 칼코게나이드 박막중 광, 전자빔 및 이온빔에 우수한 감도를 보이는 Se-Ge박막을 FIB resist로 이용하기 위하여 기본적 이온빔 유기 특성을 발표한 바 있다[1]. Se-Ge계 박막은 그 조성이 $Se_{75}Ge_{25}$ 인 경우 광에 대하여 반응성이 가장 우수한 pos-type 레지스트 특성을 보이는 반면 Ag를 도포시킨 $Ag/Se_{75}Ge_{25}$ 의 이중층의 경우는 에너지 유기현상에 의하여 nega-type 레지스트 특성을 보인다. 본 연구에서는 비정질 Se-Ge 이온 레지스트에 적합한 모델을 설정하고 computer calculation을 통하여 여러종류의 가속에너지 및 dose변화에 따른 $Se_{75}Ge_{25}$ 및 $Ag/Se_{75}Ge_{25}$ 레지스트의 ion range(R_p), straggling, implanted ion concentration 및 ion transmission 계수에 의한 이중층 레지스트의 Ag두께등의 parameter 등을 추정하고 실제 레지스트를 제작, 비교하므로 최적의 변수를 찾고자 한다.

II. 모델 설정 및 결과

Ga^+ LMIS로 부터 가속되어진 집속이온빔은 레지스트의 핵 및 전자들에 자신의 에너지를 전달하고 정지하게 된다. 이때 정지력은 Coulomb potential $V(r)$ 의 함수로 전자에 의한 screen effect를 고려하여 screening 함수 $\Phi(x)$ 를 도입 수정하여야 하며, $\Phi(x)$ 는 이차 미분 방정식의 해를 구하여 얻을 수 있으며 정확한 수학적인 식은 Moliere approximation을 이용하였다. LSS는 $V(r)$, scattering parameter $t^{1/2}$ 와 목록화된 universal scattering 함수 $f(t^{1/2})$ 를 이용 핵 정지력에 대한 미분유효 cross-section($d\sigma$)을 계산하여 일반화 시킨 energy(ϵ), length(ρ)를 제시하였다. 이에 $f(t^{1/2})$ 와 $t^{1/2}$ 의 관계는 Winterbon 근사식[2]을 이용하여 단순화시켰다. 또한 전자에 의한 정지력은 매우 높은 에너지에서는 Bethe theory를 만족하여 입사 속도에 반비례하지만 lithography에 이용되는 에너지 영역에서는 자유전자가 전자ガ스를 형성하는 것으로 가정한 LSS이론을 만족한다.

R_p 와 total range(R)과의 관계 및 R_p 와 ΔR_p 와의 관계는 Schiott의 실험식 등을 이용하여 다음과 같이 표현된다. 또한 이온 빔이 수직입사되고, M1과 M2가 유사한 경우 $\Delta R_p = \Delta R_p$ 의 관계를 갖는다.

$$R/R_p = 1 + b M_2/M_1 ; b = 1/3 \quad (1)$$

$$\frac{R_p}{R_p} \cdot \frac{M_1 + M_2}{2(M_1 M_2)^{1/2}} = 0.40 \quad (2)$$

조성이 A_mB_n 인 비정질 레지스트에 대하여 분자당의 정지력은 Bragg's rule에 의해 $\epsilon^{A_mB_n} = m\epsilon^A + n\epsilon^B$ 로 표현 할 수 있으며 Se과 Ge의 경우는 각각의 두 원자에 대한 정지력이 유사한 특성을 나타내기 때문에 total range는 다음식으로 근사 시킬 수 있다.

$$R = R_A R_B (X_A R_B + X_B R_A)^{-1} \quad (3)$$

그림1은 a- $Se_{75}Ge_{25}$ 과 $Ag/Se_{75}Ge_{25}$ 레지스트의 이온 범위등의 추정값이다.

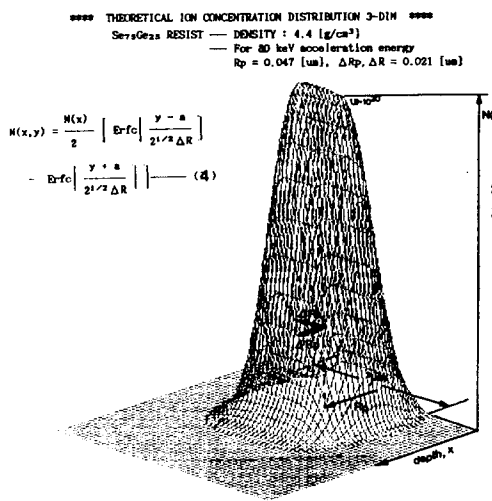
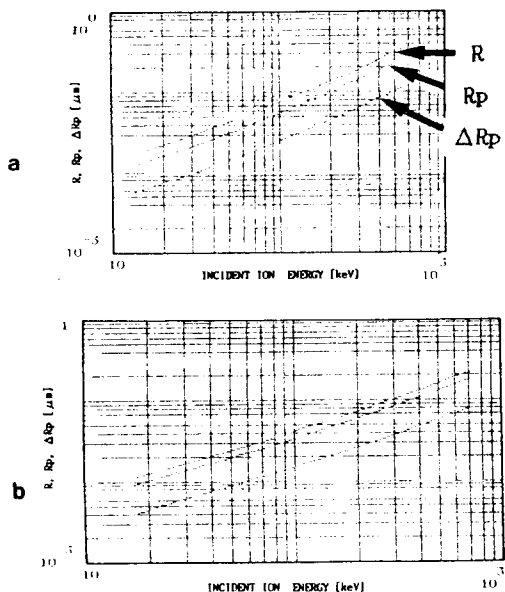


그림2

그림1

(a) a-Se₇₅Ge₂₅ (b) Ag/Se₇₅Ge₂₅

실제 FIB가 레지스트에 조사되는 경우(Dose=1x10¹⁵, 80keV), 이온농도 $N(x,y)$ 는 식(4)로 표현될 수 있으며 빔 반경이 0.1 μm 로 가정한 경우 a-Se₇₅Ge₂₅ 레지스트 내의 이온 분포를 그림2에 나타내 있으며, 입사 이온 빔의 대부분을 흡수하고 기판으로의 원하지 않는 이온의 주입을 최소로 하기 위해 이온 투과율 T 가 10⁻⁴되는 두께를 레지스트의 최소 두께로 정하였다. 실험에서 박막은 공기 2 \times 10⁻⁵ Torr 의 진공도 하에서 증착속도는 7 Å/s로 하여 열 증착하였다.

III. 결 론

a-Se₇₅Ge₂₅ 레지스트 내의 Ga이온이 조사된 경우의 R_p 및 ΔR_p 는 다음 표와 같다.

ENERGY [keV]	$R_p [\mu\text{m}]$	$\Delta R_p [\mu\text{m}]$
50	0.031	0.0139
80	0.047	0.021
100	0.057	0.025
150	0.080	0.036
200	0.1	0.045

FIB 리토그라피 기술은 높은 에너지의 이온빔 조사로 인한 기판으로의 원하지 않는 이온의 주입이 문제가 되기 때문에 a-Se₇₅Ge₂₅에 대하여 $T=10^{-4}$ 를 만족하는 두께 조건($R_p + 4\Delta R_p$)을 레지스트의 최소 두께로 선택할 경우 이 문제를 해결할 수 있을 것으로 사료되며, Ag/Se₇₅Ge₂₅ 레지스트에서 Ag는 마이그레이션이 우수한 물질로 Ag가 충분한 이온빔의 흡수하는 경우 즉 $T=10^{-4}$ 되는 두께를 최대 두께로 선택하였다. development가 발생하는 임계 농도를 구하고 실제의 R_p 및 ΔR_p 와 이온농도분포함수를 비교하므로서 리토그라피 패턴의 예상이 가능하다.

참고문헌

- [1] 정홍배, 이영종, 이현웅, 박태성, 대한전기학회 학술발표논문집, 1992(8)
- [2] K.B.Winterbon, Mat.Fys.Medd.Dan.Vid.Selsk, 37, No.14(1970)